

## บทที่ 4

### การทดสอบวงจรรย่อย

#### 4.1 บทนำ

หลังจากที่เราได้ออกแบบวงจรต่างๆในบทที่แล้ว ในบทนี้เราจะแสดงผลของการทดสอบวงจรรย่อยที่ได้ออกแบบไว้ทั้งหมด ในการทดสอบเราจะพิจารณาถึงหน้าที่ของวงจรรย่อยนั้นๆที่มีอยู่ในระบบ แล้วจึงทดสอบตามหน้าที่ของมัน ลักษณะของผลการทดสอบจะแสดงโดยตารางแสดงผลการทดสอบ ในบางวงจรรย่อยอาจต้องมีการคำนวณประกอบกับผลการทดลองเพื่อช่วยให้ทราบถึงขีดความสามารถต่างๆของวงจรรย่อยเหล่านั้นซึ่งไม่อาจหาได้โดยการทดสอบหรืออาจทดสอบได้ แต่มีความยากลำบากในการทำทดสอบ

#### 4.2 การทดสอบภาคเอซี ทู คีซี คอนเวอร์เทอร์

เนื่องจากเครื่องวิเคราะห์ห้วงจรแบบดิจิทัลที่ออกแบบมีภาคเอซีทูคีซีสองชุดซึ่งเหมือนกันทุกประการ ในการทดสอบเราจึงคำนึงถึงว่าสัญญาณขาออกของมันเป็นแรงดันไฟฟ้ากระแสตรงที่เรียบ และแรงดันนี้แปรผันโดยตรงกับขนาดของสัญญาณขาเข้าหรือไม่ และผลตอบสนองเชิงความถี่ของวงจรทั้งสองเหมือนกันหรือไม่

ตารางที่ 4.1 แสดงผลการทดสอบการเปลี่ยนแปลงแรงดันขาออกเทียบกับแรงดันขาเข้า จากผลการทดสอบเราสามารถเขียนกราฟความสัมพันธ์ระหว่างแรงดันขาออกกับแรงดันขาเข้าของวงจรรเอซีทูคีซีคอนเวอร์เทอร์ชุดที่ 1 และชุดที่ 2 ดังแสดงในรูปที่ 4.1 และ 4.2 ตามลำดับ ซึ่งจะเห็นได้ว่าแรงดันขาเข้ากับแรงดันขาออกที่ทดสอบมาได้ มีลักษณะของการแปรผันโดยตรง ดังนั้นเราจึงใช้วิธี least square error ในการหา regression line

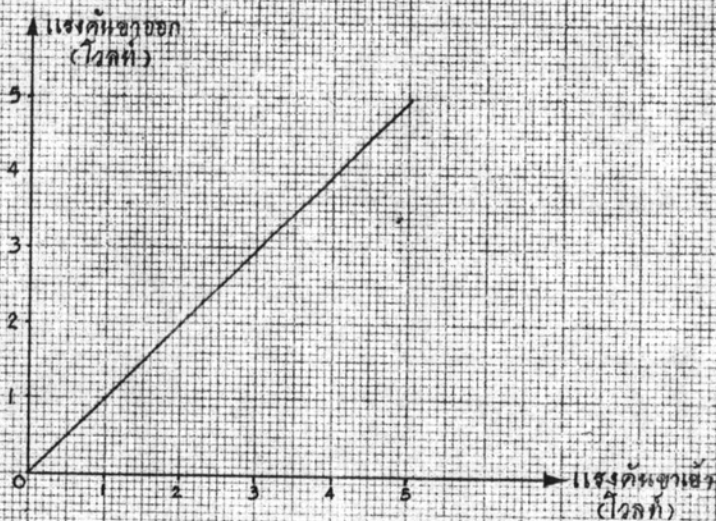
จากสมการของ regression line

ตารางที่ 4.1

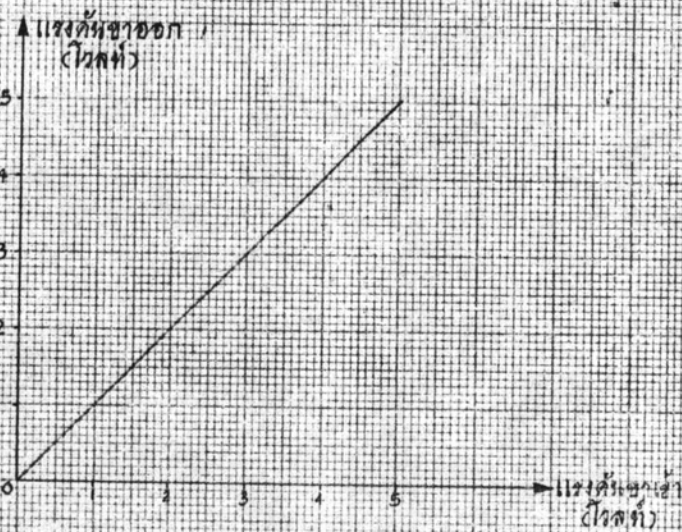
ผลการทดสอบความเป็นเชิงเส้นของวงจรเอช ทุ ทีซี คอนเวิร์ทเทอร์

แรงดันขาเข้า (โวลต์)	แรงดันขาออก: ชุดที่ 1 (โวลต์)	แรงดันขาออก: ชุดที่ 2 (โวลต์)
0.0	0.001	0.001
0.2	0.200	0.201
0.5	0.499	0.501
1.0	0.998	1.000
2.0	2.002	2.001
3.0	2.997	2.999
4.0	3.999	4.003
5.0	4.996	4.999

- หมายเหตุ
1. การทดสอบทำที่ความถี่ 1 กิโลเฮิรต์
  2. วิกขนาดของแรงดันโดยใช่ Digital Simpson  
Multimeter, Model 464



รูปที่ 4.1 กราฟแสดงความสัมพันธ์ระหว่างแรงดันขาเข้ากับแรงดันขาออกของวงจรเรขาคณิตคอนเวิร์ทเทอร์รูปที่ 1



รูปที่ 4.2 กราฟแสดงความสัมพันธ์ระหว่างแรงดันขาเข้ากับแรงดันขาออกของวงจรเรขาคณิตคอนเวิร์ทเทอร์รูปที่ 2



$$y = ax + b \quad (4.1)$$

$$a = \frac{\sum xy}{\sum x^2} \quad (4.2)$$

$$b = \bar{y} - a\bar{x} \quad (4.3)$$

โดย  $x$  = แรงคันทาเข้า

$y$  = แรงคันทาออก

จากข้อมูลของวงจรเอชทูทีซีฯ ชุดที่ 1 จะได้ว่า

$$a_1 = 0.999$$

$$b_1 = 9.625 \times 10^{-4} \approx 0$$

$$\therefore y_1 = 0.999 x_1$$

จากข้อมูลของวงจรเอชทูทีซีฯ ชุดที่ 2 จะได้ว่า

$$a_2 = 0.999$$

$$b_2 = 2.588 \times 10^{-4} \approx 0$$

$$\therefore y_2 = 0.999 x_2$$

จะเห็นได้ว่าวงจรเอชทูทีซีฯ ทั้งสองชุดแปรผันเชิงเส้นตรงกับแรงคันทาเข้าทั้งคู่ โดยค่าคงที่ของการแปรผันประมาณเท่าๆกัน

ผลการทดสอบผลตอบสนองเชิงความถี่ที่อัตราขยายเป็นหนึ่งเท่าและสิบเท่า ได้แสดงในตารางที่ 4.2 และ 4.3 ตามลำดับ ตารางที่ 4.4 แสดงอัตราส่วนของแรงคันทาออกทั้งสองที่อัตราขยายและความถี่ต่างๆ จากผลการทดสอบพบว่าความถี่ต่ำกว่า 20 กิโลเฮิร์ต ค่าอัตราส่วนของแรงคันทาออกของวงจรทั้งสองชุดมีค่าผิดพลาดต่ำกว่า 1.5 % เครื่องมือที่ใช้และการจัดวางอุปกรณ์ต่างๆ ในขณะทดสอบภาคเอชทูทีซี คอนเวิรท์เทอร์ ได้แสดงในรูปแบบที่ 4.3

## ตารางที่ 4.2

การแสดงผลการทดสอบวงจรเอช ซี ที ซี คอนเวอเตอร์ที่อัตรา  
ขยายเป็นหนึ่ง

ความถี่ของ สัญญาณขา เข้า (เฮิรตซ์)	แรงดันของ สัญญาณขา เข้า (โวลต์)	แรงดันขา ออกชุดที่ 1 (โวลต์)	แรงดันขา ออกชุดที่ 2 (โวลต์)	ripple ของสัญญาณ ออกชุดที่ 1 (มิลลิ- โวลต์)	ripple ของสัญญาณ ออกชุดที่ 2 (มิลลิ- โวลต์)	แรงดันขา ออกชุดที่ 1 ต่อแรงดัน ขาออกชุด ที่ 2	แรงดันขา ออกชุดที่ 2 ต่อแรงดัน ขาเข้า
0	0	0.0009	0.0014	0.1	0.1	0.643	-
10	1.578	1.566	1.567	3.8	4.8	0.999	0.992
50	1.579	1.572	1.573	0.4	1.2	0.999	0.996
100	1.587	1.574	1.582	0.2	0.2	0.995	1.008
200	1.585	1.576	1.580	0.1	0.1	0.997	0.994
500	1.585	1.576	1.582	0.0	0.1	1.004	0.994
1,000	1.581	1.579	1.572	0.1	0.1	0.996	0.999
2,000	1.575	1.576	1.571	0.1	0.1	0.997	1.001
5,000	1.576	1.579	1.574	0.1	0.1	0.997	1.002
10,000	1.570	1.563	1.564	0.1	0.1	1.001	0.996
20,000	1.566	1.566	1.566	0.1	0.1	1.000	1.000
50,000	1.520	1.525	1.531	0.1	0.1	0.996	0.997
100,000	0.961	1.411	1.464	0.1	0.1	1.038	1.468

หมายเหตุ

- 1.. แรงดันต่างๆวัดโดย Digital Simpson Multimeter, Model 464
2. แรงดันที่จ่ายให้วงจรใช้ + 15.00 และ - 15.02 โวลต์ และมีสัญญาณรบกวนต่ำกว่า 5 mv
3. สัญญาณขาเข้ามีความเพี้ยนน้อยกว่า 3%
4. ปลายขาเข้าของวงจรทั้ง 2 ชุดต่อรวมกัน

ตารางที่ 4.3

แสดงผลการทดสอบวงจรเอช ซี ยู ซี คอมพิวเตอร์เพื่อทราบขยายเป็น 10

ความถี่ของ สัญญาณ เข้า (เฮิรตซ์)	แรงดันของ สัญญาณ เข้า (โวลต์)	แรงดันขา ออกชุดที่ 1 (โวลต์)	แรงดันขา ออกชุดที่ 2 (โวลต์)	ripple ที่ขาออก ของชุดที่ 1 (มิลลิโวลต์)	ripple ที่ขาออก ของชุดที่ 2 (มิลลิโวลต์)	แรงดันขา ออกชุดที่ 1 ต่อแรงดัน ขาออกชุด ที่ 2	แรงดันขา ออกชุดที่ 1 ต่อแรงดัน ขาเข้า
0	0	0.001	0.5015	0.1	0.1	0.667	
10	0.423	4.24	4.23	11.7	13.9	1.002	10.002
50	0.423	4.24	4.23	2.1	3.1	1.002	10.002
100	0.426	4.26	4.28	0.9	0.1	0.995	10.000
200	0.426	4.26	4.28	0.0	0.0	0.995	10.000
500	0.426	4.27	4.28	0.1	0.0	0.995	10.023
1,000	0.432	4.36	4.38	0.0	0.0	0.995	10.093
2,000	0.436	4.38	4.40	0.0	0.0	0.995	10.046
5,000	0.436	4.39	4.40	0.0	0.0	0.998	10.069
10,000	0.436	4.36	4.38	0.0	0.0	0.995	10.000
20,000	0.436	4.33	4.35	0.0	0.0	0.995	9.978
50,000	0.418	4.32	4.36	0.0	0.0	0.991	10.335
100,000	0.344	3.31	2.17	2.1	1.1	1.525	9.622

## หมายเหตุ

1. แรงดันต่างๆวัดโดย Digital Simpson Multimeter
2. แรงดันที่จ่ายให้วงจรใช้ +15.01 และ -15.03 โวลต์ และมีสัญญาณรบกวนต่ำกว่า 5 mv
3. สัญญาณขาเข้ามีความเที่ยงน้อยกว่า 3%
4. ปลายขาเข้าของวงจรทั้ง 2 ชุดต่อรวมกัน

## ตารางที่ 4.4

ความสัมพันธ์ระหว่างแรงดันขาออกทั้งสองชุดในกรณีต่างๆ

- $V_{11}$  เป็นแรงดันขาออกของชุดที่ 1 เมื่อใช้อัตราขยายเป็น 1  
 $V_{12}$  เป็นแรงดันขาออกของชุดที่ 1 เมื่อใช้อัตราขยายเป็น 10  
 $V_{21}$  เป็นแรงดันขาออกของชุดที่ 2 เมื่อใช้อัตราขยายเป็น 1  
 $V_{22}$  เป็นแรงดันขาออกของชุดที่ 2 เมื่อใช้อัตราขยายเป็น 10

ความถี่ (เฮิรตซ์)	$V_{11}/V_{21}$	$V_{12}/V_{22}$	$V_{12}/V_{21}$	$V_{11}/V_{22}$
10	0.992	1.002	10.073	0.0994
50	0.996	1.002	10.032	0.0998
100	1.008	0.995	9.871	0.1013
200	0.994	0.995	10.030	0.0989
500	0.994	0.995	10.124	0.0987
1,000	0.999	0.995	10.063	0.0985
2,000	1.001	0.995	10.006	0.0991
5,000	1.002	0.998	10.019	0.0993
10,000	0.996	0.995	10.050	0.0991
20,000	1.000	0.995	9.978	0.0997
50,000	0.997	0.991	10.325	0.0956
100,000	1.468	1.525	6.804	0.233

หมายเหตุ 1. ค่า  $V_{11}/V_{21}$  ได้จากตารางที่ 4.2

2. ค่า  $V_{12}/V_{22}$  ได้จากตารางที่ 4.3

3. ค่า  $V_{12}/V_{21}$  หาได้จาก 
$$\frac{V_{12}}{V_{21}} = \frac{V_{12}}{V_{in}} \times \frac{V_{11}}{V_{21}} \times \frac{V_{in}}{V_{11}}$$

โดยใช้ค่า  $\frac{V_{12}}{V_{in}}$  จากตารางที่ 4.3 และค่า  $\frac{V_{11}}{V_{21}}$  กับ  $\frac{V_{11}}{V_{in}}$  จากตารางที่ 4.2

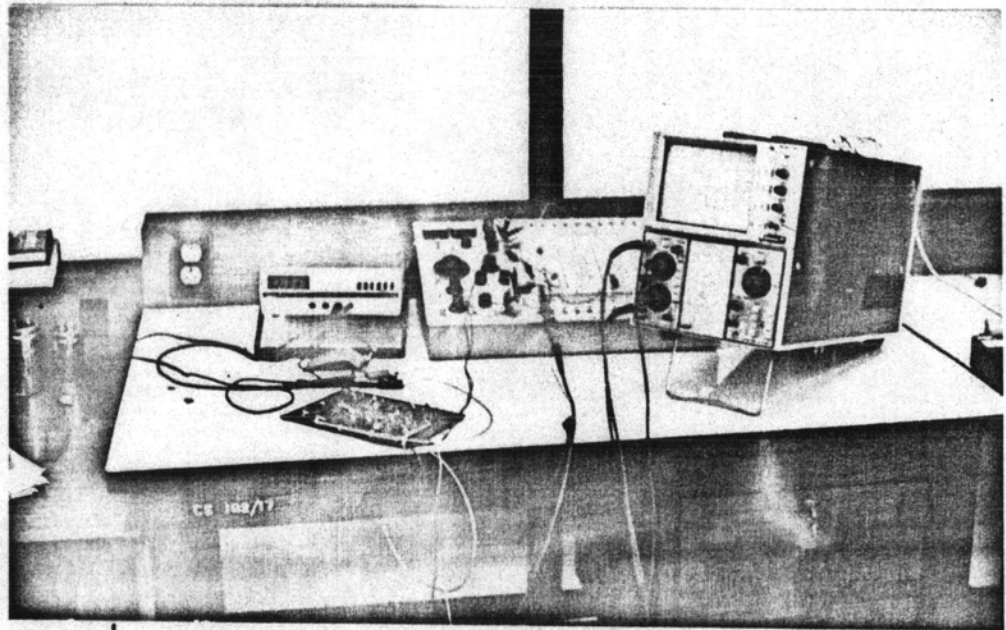
4. ค่า  $v_{11}/v_{22}$  หาได้จาก

$$\frac{v_{11}}{v_{22}} = \frac{v_{11}}{v_{in}} \times \frac{v_{in}}{v_{12}} \times \frac{v_{12}}{v_{22}}$$

โดยใช้ค่า  $\frac{v_{11}}{v_{in}}$  จากตารางที่ 4.2 และค่า  $\frac{v_{in}}{v_{12}}$  กับ  $\frac{v_{12}}{v_{22}}$  จาก

ตารางที่ 4.3





รูปที่ 4.3 แสดงภาพอุปกรณ์ขณะทดสอบภาคเอชี่ ทู คีซี คอนเวิร์ทเทอร์

#### 4.3 การทดสอบภาคเอชี่ คอนเวิร์ทเทอร์

ในการทดสอบวงจรนี้เราต้องการทดสอบความเป็นเชิงเส้นและความเหมือนกันของวงจรเอชี่ คอนเวิร์ทเทอร์ทั้งสองชุด จากการทดสอบโดยป้อนแรงดันที่คอนข้างคองที่จากถ่านไฟฉาย ซึ่งเป็นเซลล์ไฟฟ้ากระแสตรงขนาดแรงดัน 1.5 โวลต์ และต่อปลายขาออกเข้ากับวงจรนับซึ่งมีภาคแสดงผล ผลการทดสอบแสดงในตารางที่ 4.5 ซึ่งจะเห็นได้ว่าวงจรทั้งสองภาคที่สร้างขึ้นมีความแม่นยำถึงสี่หลัก

การทดสอบความเป็นเชิงเส้น และความเหมือนกันได้ผลดังแสดงในตารางที่ 4.6 จากผลการทดลองเราใช้วิธี least square error เพื่อหาความสัมพันธ์เชิงเส้นระหว่างแรงดันขาเข้ากับจำนวนลูกคลื่นที่ปลายขาออกได้ผลว่าในวงจรชุดหนึ่ง

$$\text{จำนวนลูกคลื่นขาออก} = 475951.46 \times \text{แรงดันขาเข้า} \quad (4.4)$$

ในวงจรชุดที่ สอง

$$\text{จำนวนลูกคลื่นขาออก} = 476593.65 \times \text{แรงดันขาเข้า} \quad (4.5)$$

จากสมการที่ (4.4) และ (4.5) จะได้ว่า

$$\text{จำนวนพัลส์ขาออกของชุดที่ 1 ต่อจำนวนพัลส์ขาออกของชุดที่สอง} = 0.9987$$



## ตารางที่ 4.5

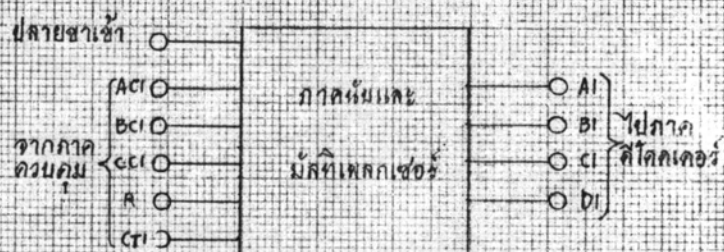
ผลการทดสอบความแม่นยำของวงจรถูกิตี คอนเวิรท์เทอร์ ทดสอบที่แรงคั้นขาเข้า  
ขนาด 1.5 โวลท์

ครั้งที่	จำนวนพัลซ์ขาออก ของชุดที่ 1	จำนวนพัลซ์ขาออก ของชุดที่ 2
1	714149	715041
2	714373	715063
3	714156	715114
4	714338	715091
5	714503	715103

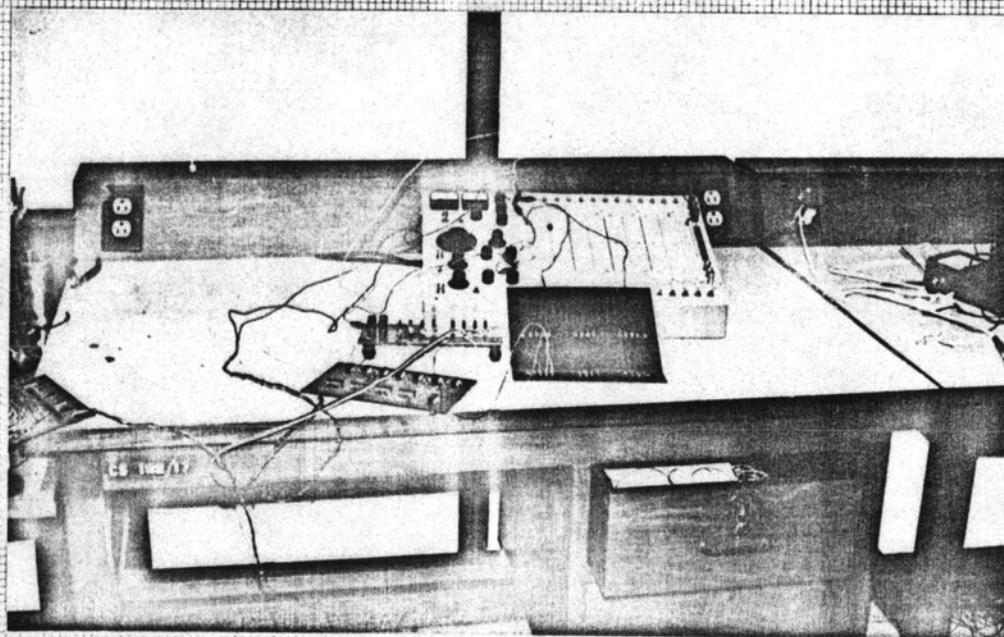
## ตารางที่ 4.6

ผลการทดสอบความเป็นเชิงเส้นของวงจรถูกิตี คอนเวิรท์เทอร์

แรงคั้นขาเข้า (โวลท์)	จำนวนพัลซ์ขาออก ของชุดที่ 1	จำนวนพัลซ์ขาออก ของชุดที่ 2
0.0	0	0
0.2	95220	95340
0.5	238151	239661
1.0	476318	476525
2.0	952334	952883
3.0	1427441	1428213
4.0	1903523	1910015
5.0	2379901	2380995



รูปที่ 4.4 แผนภาพแสดงปลายขาเข้าและออกของภาคหับและ  
และมัลติเพลกเซอร์



รูปที่ 4.5 ภาพแสดงเครื่องมือและกรจกอุปกรณ์ขณะทำ  
การทดสอบภาคหับและมัลติเพลกเซอร์

นั่นคือแรงดันขาเข้าเดียวกันจำนวนลูกคลื่นขาออกของวงจรถึงสองจะเกือบเท่ากัน

#### 4.4 การทดสอบภาคนับและมัลติเพลกเซอร์

ภาคนับและมัลติเพลกเซอร์แต่ละชุดสามารถเขียนปลายขาเข้าและออกต่างๆได้ดังแสดงในรูปที่ 4.4 จากการทดสอบการนับของวงจรถึงสองชุด พบว่ามันสามารถนับในระบบเลข BCD ได้ทุกอย่างถูกต้อง ผลการทดสอบสภาวะการทำงานของภาคนับฯ ทั้งสองชุดได้ผลเหมือนกัน ดังนั้นเราจึงแสดงผลการทดสอบวงจรถึงชุดเดียวโดยแสดงผลในตารางที่ 4.7 จากผลการทดสอบจะเห็นได้ว่าสภาวะการทำงานถูกต้องตามที่ออกแบบไว้ เครื่องมือที่ใช้และการจิกวางอุปกรณ์ขณะทดสอบผลการทำงานของภาคนับและมัลติเพลกเซอร์นี้แสดงในรูปที่ 4.5

#### 4.5 การทดสอบภาคคำนวณและแสดงผล

ภาคนี้เราทดสอบโดยป้อนข้อมูลเข้าไปโดยต่อปลาย 'D' ให้อยู่ระดับ 'H' พบว่ามันสามารถทำงานในลักษณะเดียวกับเครื่องคิดเลขธรรมดา ซึ่งสามารถคำนวณฟังก์ชันทางคณิตศาสตร์และวิทยาศาสตร์ได้อย่างถูกต้อง เมื่อต่อปลาย D ให้อยู่ในระดับ 'L' พบว่าไม่ว่าจะป้อนข้อมูลใดเข้าไป ตัวเลขที่แสดงผลจะยังคงแสดงค่าก่อนที่ปลาย D จะอยู่ระดับ 'L' เครื่องมือที่ใช้และการจิกวางอุปกรณ์ในขณะทดสอบภาคคำนวณและแสดงผลได้แสดงในรูปที่ 4.6

#### 4.6 การทดสอบภาคคิโคเคอร์

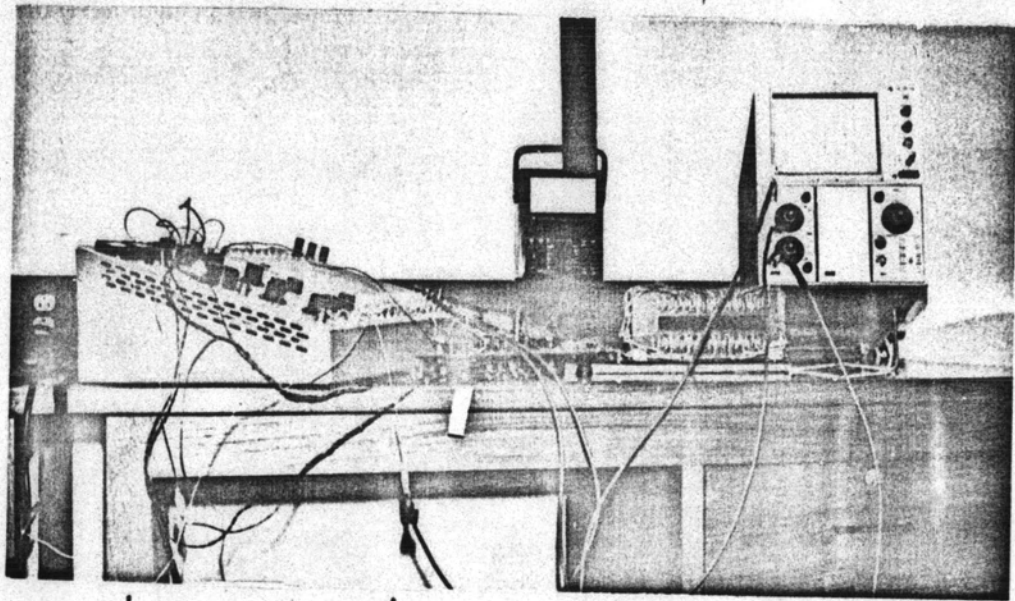
ภาคคิโคเคอร์มีแผนภาพแสดงปลายขาเข้าและออกดังแสดงในรูปที่ 4.7 ผลการทดสอบแสดงในตารางที่ 4.8 ซึ่งได้ผลการทดสอบตรงกับที่ได้ออกแบบไว้ เครื่องมือที่ใช้และการจิกวางอุปกรณ์ในขณะทดสอบภาคคิโคเคอร์ ได้แสดงในรูปที่ 4.8

## ตารางที่ 4.7

แสดงสภาวะการทำงานของภาคนับและมัลติเพลกเซอร์

AC1	BC1	CC1	R	Cx	สภาวะของ วงจรมับ	A1	B1	C1	D1
x	x	x	L	L	count	0	0	0	0
x	x	x	H	L	uncount	0	0	0	0
x	x	x	H	H	uncount	0	0	0	0
0	0	0	x	H	—	แสดงผลในหลักที่			7
0	0	1	x	H	—	"	"	"	6
0	1	0	x	H	—	"	"	"	5
0	1	1	x	H	—	"	"	"	4
1	0	0	x	H	—	"	"	"	3
1	0	1	x	H	—	"	"	"	2
1	1	0	x	H	—	"	"	"	1
1	1	1	x	H	—	1	1	1	1





รูปที่ 4.6 ภาพแสดงเครื่องมือและการจัดอุปกรณ์ ขณะทำการทดลองภาคคำนวณ และแสดงผล

#### 4.7 การทดสอบภาคควบคุมการมัลติเพลกเซอร์

วงจรควบคุมนี้มีแผนภาพผังแสดงในรูปที่ 4.9 การทดสอบวงจรมีได้ผลดังแสดงในตารางที่ 4.9 จากผลการทดลองได้ผลตรงกับที่ได้ออกแบบไว้

#### 4.8 การทดสอบภาคควบคุมการคำนวณอัตราขยาย

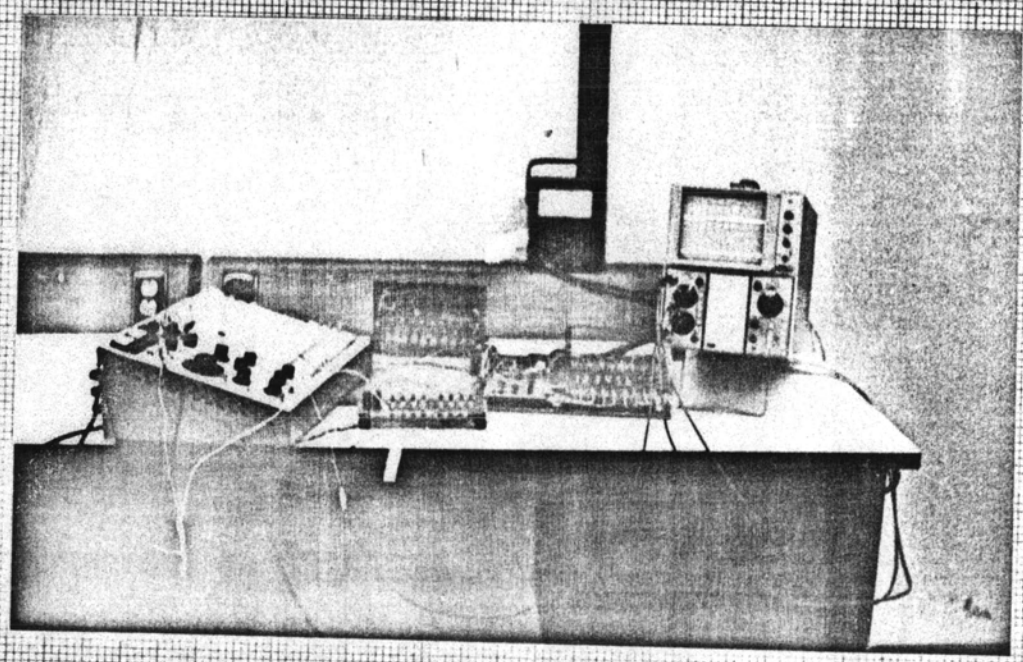
วงจรควบคุมการคำนวณอัตราขยายมีแผนภาพผังแสดงในรูปที่ 4.10 ผลการทดสอบได้ผลดังแสดงในตารางที่ 4.10 จากผลการทดสอบได้ผลตามที่ได้ออกแบบไว้

ในการทดสอบ 'clear' และ 'set' เมื่อ clear เป็น 'L' ทุกๆบิตในซีพรีจิสเตอร์ทั้งหมดในวงจรจะเป็นศูนย์ เมื่อ 'set' เป็น 'H' จะทำให้บิตที่หนึ่งของซีพรีจิสเตอร์ชุดแรกเป็น 'H'

#### 4.9 การทดสอบวงจรควบคุมการคำนวณเฟส



รูปที่ 4.7 แผนภาพแสดงขั้วขาเข้าและออกของไมโครคอนโทรลเลอร์



รูปที่ 4.8 ภาพแสดงเครื่องมือและการจัดอุปกรณ์ขณะทำการทดสอบไมโครคอนโทรลเลอร์





รูปที่ 4.9 แผนภาพแสดงปลายขาเข้าและออกของภาคควบคุมการนับสี่เหลี่ยม



รูปที่ 4.10 แผนภาพแสดงปลายขาเข้าและออกของภาคควบคุมการคำนวณอัตราขยาย

ตารางที่ 4.9

แสดงผลการทดลองภาคควบคุมการมีลติเพลก  
(การทดลองนี้ทำหลังจากป้อนสัญญาณขาเข้ามา 1 พัลส์แล้ว)

clock พัลส์ ที่	สถานะ ของ clock	AC1	BC1	CC1	CT1	AC2	BC2	CC2	CT2	CT	'÷'	ปลาย อื่นๆ
1	L	0	0	0	1	0	0	0	0	1	0	0
	H	0	0	0	1	0	0	0	0	0	0	0
2	L	0	0	1	1	0	0	0	0	1	0	0
	H	0	0	0	1	0	0	0	0	0	0	0
3	L	0	1	0	1	0	0	0	0	1	0	0
	H	0	1	0	1	0	0	0	0	0	0	0
4	L	0	1	1	1	0	0	0	0	1	0	0
	H	0	1	1	1	0	0	0	0	0	0	0
5	L	1	0	0	1	0	0	0	0	1	0	0
	H	1	0	0	1	0	0	0	0	0	0	0
6	L	1	0	1	1	0	0	0	0	1	0	0
	H	1	0	1	1	0	0	0	0	0	0	0
7	L	1	1	0	1	0	0	0	0	1	0	0
	H	1	1	0	1	0	0	0	0	0	0	0
8	L	0	0	0	0	0	0	0	0	0	1	0
	H	0	0	0	0	0	0	0	1	0	0	0
9	L	0	0	0	0	0	0	1	1	1	0	0
	H	0	0	0	0	0	0	1	1	1	0	0
10	L	0	0	0	0	0	1	0	1	1	0	0
	H	0	0	0	0	0	1	0	1	1	0	0
11	L	0	0	0	0	0	1	1	1	1	0	0
	H	0	0	0	0	0	1	1	1	1	0	0
12	L	0	0	0	0	1	0	0	1	1	0	0
	H	0	0	0	0	1	0	0	1	1	0	0
13	L	0	0	0	0	1	0	1	1	1	0	0
	H	0	0	0	0	1	0	1	1	1	0	0
14	L	0	0	0	0	1	1	0	1	1	0	0
	H	0	0	0	0	1	1	0	1	1	0	0
15	L	0	0	0	0	0	1	0	0	0	0	0
	H	0	0	0	0	1	1	0	0	0	0	0

## ตารางที่ 4.10

## ผลการทดสอบภาคควบคุมการคำนวณอัตราขยาย

clear	set	time	clock	'='	'F'	'log'	'X'	'2'	'0'	'AL'	ปลาย ขาออก
L	L	$t_0$	x	0	0	0	0	0	0	x	0
H	H	$t_1$	x	0	0	0	0	0	0	x	0
H	L	$t_2$	↓	0	0	0	0	0	0	x	0
H	L	$t_3$	↓	1	0	0	0	0	0	x	0
H	L	$t_4$	↓	0	0	0	0	0	0	x	0
H	L	$t_5$	↓	0	1	0	0	0	0	x	0
H	L	$t_6$	↓	0	0	0	0	0	0	x	0
H	L	$t_7$	↓	0	0	1	0	0	0	x	0
H	L	WAIT	↓	0	0	0	0	0	0	0	0
H	L	$t_n$	↓	0	0	0	0	0	0	1	0
H	L	$t_{n+1}$	↓	0	0	0	0	0	0	x	0
H	L	$t_{n+2}$	↓	0	0	0	1	0	0	x	0
H	L	$t_{n+3}$	↓	0	0	0	0	0	0	x	0
H	L	$t_{n+4}$	↓	0	0	0	0	1	0	x	0
H	L	$t_{n+5}$	↓	0	0	0	0	0	0	x	0
H	L	$t_{n+6}$	↓	0	0	0	0	0	1	x	0
H	L	$t_{n+7}$	↓	0	0	0	0	0	0	x	0
H	L	$t_{n+8}$	↓	0	0	0	0	0	0	x	∟

หมายเหตุ การทดสอบนี้เป็นการทดสอบโดยเรียงลำดับการทำงานของวงจรให้เหมือนสภาพเป็นจริงที่เกิดขึ้นเมื่อวงจรนี้ประกอบอยู่ในเครื่องฯ

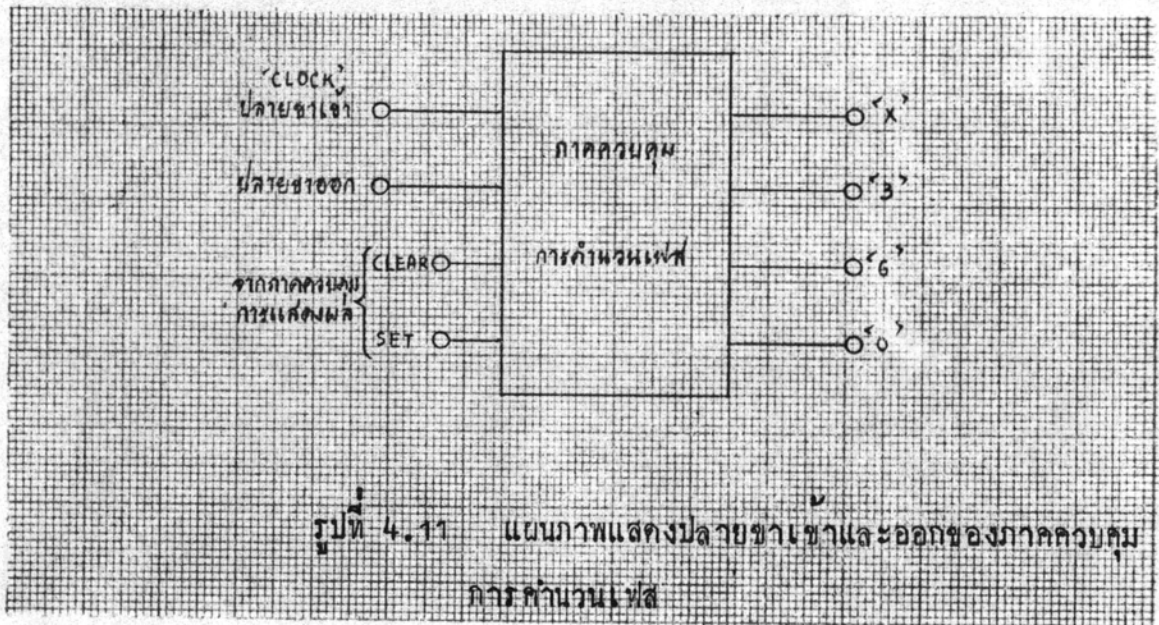
## ตารางที่ 4.11

ผลการทดสอบวงจรควบคุมการคำนวณเฟส

time	clear	set	'clock'	'x'	'3'	'6'	'0'	ปลาย ขาออก
t <sub>0</sub>	L	L	x	0	0	0	0	0
t <sub>1</sub>	H	H	x	0	0	0	0	0
t <sub>2</sub>	H	L	↓	0	0	0	0	0
t <sub>3</sub>	H	L	↓	1	0	0	0	0
t <sub>4</sub>	H	L	↓	0	1	0	0	0
t <sub>5</sub>	H	L	↓	0	0	0	0	0
t <sub>6</sub>	H	L	↓	0	0	1	0	0
t <sub>7</sub>	H	L	↓	0	0	0	0	0
t <sub>8</sub>	H	L	↓	0	0	0	1	0
t <sub>9</sub>	H	L	↓	0	0	0	0	1

หมายเหตุ การทดสอบนี้เป็นการทดสอบโดยเรียงลำดับการทำงานของวงจรให้  
เหมือนสภาพเป็นจริงที่เกิดขึ้นเมื่อวงจรนี้ประกอบอยู่ในเครื่องฯ

วงจรควบคุมอันนี้มีแผนภาพดังแสดงในรูปที่ 4.11 ผลของการทดสอบแสดงในตารางที่ 4.11 จากผลการทดสอบได้ผลตรงตามที่ไค้ออกแบบไว้



#### 4.10 สรุป

ตามที่ไค้อกล่าวมาแล้วเป็นการทดสอบวงจรร้อยเอ็ดทั้งหมด ที่ประกอบในเครื่องวิเคราะห์วงจรแบบดิจิทัลซึ่งไค้อออกแบบไว้ในบทที่ 3 จากผลการทดสอบพบว่าทุกวงจรทำงานตามที่เรไค้อออกแบบไว้ ข้อผิดพลาดในวงจรต่างๆที่เป็นวงจรทางดิจิทัลนั้นไม่มีเลย จะมีผลผิดพลาดบ้างเฉพาะเอชี่ ทู คีซี คอนเวร์ทและภาคเอชี่ คอนเวร์ทเทอร์เท่านั้น

ในภาคควบคุมการแสดงผลนั้นเป็นการทำงานของวงจรถอดรหัสแบบเอคเสถียรที่ต่อแบบทอดเนื่อง ซึ่งจะทำงานตามที่ออกแบบอย่างถูกต้อง จึงไม่ได้ทำการทดสอบ ส่วนวงจรถวายจับความแตกต่างมุมนั้นเราไม่สามารถทำการตรวจสอบในบทนี้ เพราะไม่สามารถหาสัญญาณสองอันที่มีความแตกต่างมุมที่ทราบค่าแน่นอน และต้องเปลี่ยนความแตกต่างมุมไค้อด้วย ดังนั้นเราจะทดสอบการทำงานของวงจรมันนี้พร้อมกับการทดสอบเครื่องฯเลยในบทต่อไป